

RÉPUBLIQUE DU CAMEROUN

Paix-Travail-Patrie

UNIVERSITE DE DSCHANG

ÉCOLE DOCTORALE



UNIVERSITÉ
DE LORRAINE

Laboratoire de Physique et Chimie Théorique (LPCT)
S/c

Unité de Recherche de Matière Condensée, d'Electronique et de Traitement du Signa (URMACETS)

Propriétés du polaron dans un cristal polaire 3D
sousmis à un champ magnétique : Approche des
intégrales de chemin de Feynman

FACULTÉ DES SCIENCES ET
TECHNOLOGIES

Présenté par:

Kemlekeu-Djoutchet Gabin

Encadreur:

Prof Lucong Corneluis Fai
Université de Dschang

Co encadreur

Pr Jaures Tchinda Dikko
Université de Maroua

ANNEE ACADEMIQUE 2022 / 2023

PLAN DE TRAVAIL

MOTIVATION

MODEL ET RÉSULTAT ANALYTIQUE

RESULTATS NUMÉRIQUES

CONCLUSION

MOTIVATION

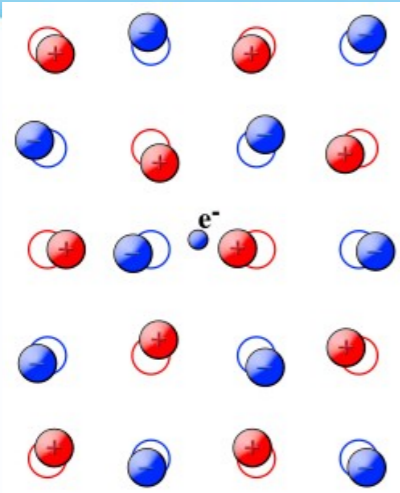


Fig 1: Vue d'artiste d'un polaron
[J.T. Devreese et F. Peeters]

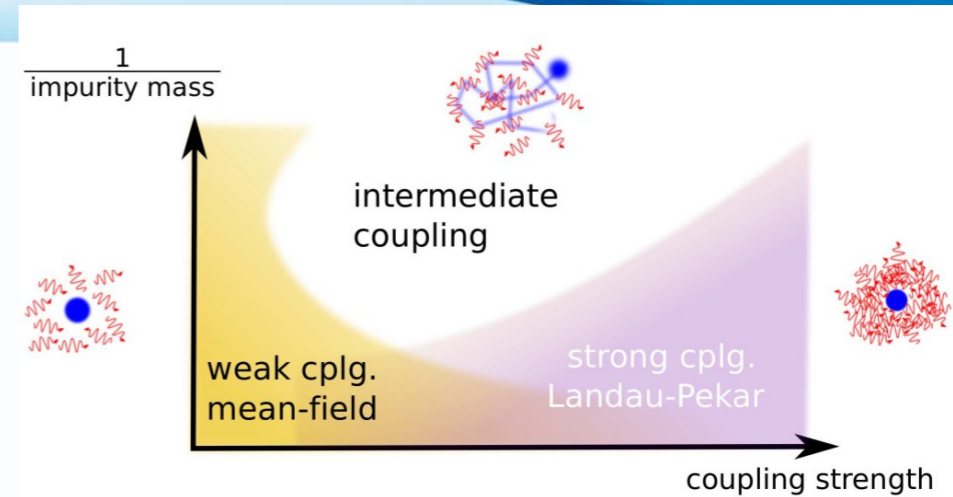


Fig 2: Diagramme de phase qualitatif du modèle de Fröhlich [Fabian Grusdt et Eugene Demler]

Trois régime de couplage

Dans le régime de couplage faible. ($\alpha < 1$)

Dans le régime de couplage fort. ($\alpha > 7$)

Dans le régime couplage intermédiaire ($1 \leq \alpha \leq 7$)

3

INTRODUCTIO
N

CONTEXTE ET
PROBLEMATIQ
UE

RESULTATS
ANALYTIQUE

RESULTATS
NUMÉRIQUE

CONCLUSION

MODEL ET RÉSULTAT ANALYTIQUE

Le lagrangien d'un électron accompagné d'une distorsion du réseau et soumis à un champ magnétique externe orienté suivant l'axe des z s'écrit:

$$L(i\hbar\tau) = -\frac{m}{2\hbar^2} \left(\frac{dr}{d\tau} \right)^2 + \frac{ie}{\hbar c} \left(\frac{dr_i}{d\tau} A_i \right) - \sum_{k_j} \left(\frac{\dot{q}_{v_{kj}}^2}{\hbar^2} + \omega_{v_{kj}}^2 q_{v_{kj}}^2 \right) + \sum_{k_j} \gamma_{k_j}^{\vec{r}}(r(\tau)) q_{v_{kj}}(\tau) \quad (1)$$

L'amplitude du couplage interaction électron-phonon

$$\gamma_{v_{kj}}^{\vec{r}}(\tau) = |V_{v_{kj}}^{\vec{r}}| \sqrt{\frac{2}{V}} \begin{cases} \sin(\vec{k}_j, \vec{r}), & k_x \geq 0 \\ \cos(\vec{k}_j, \vec{r}), & k_x < 0 \end{cases} \quad (2)$$

L'action modèle construit à base du lagrangien (1) s'écrit

(3)

Nous trouvons la fonction de partition de l'action qui imite le système réel.

$$Z_0(H) = Z_0(0) \exp \left\{ -(\beta\hbar\omega_c)^2 \left[\frac{u_2}{2\beta\hbar\nu} \left(\frac{u_2}{4} + u_1 \right) F_\nu(0) - 2Z_\nu \left(\frac{u_2}{4} \right)^2 + \frac{2}{\omega} \left(\frac{u_1}{4} \right)^2 \right] \right\} \quad (4)$$

MODEL ET RÉSULTAT ANALYTIQUE

Pour déterminer la masse et énergie du polaron nous utilisons l'inégalité de Feynman:

$$E \leq E_F = -\frac{1}{\beta} \ln(Z_0) - \frac{1}{\beta} \langle S - S_0 \rangle_{S_0} \quad (5)$$

$$E_p = \frac{u_2}{2\nu} \left(\frac{u_2}{4} + u_1 \right) \hbar \omega_c^2 - \frac{\hbar}{2} (3\omega_f - \nu) - M\omega_f^2 \left(\sum_{i=2}^4 \frac{\hbar \ell_i}{2m_i \nu_i} + \frac{\hbar a_2}{4m\nu} \right) - \frac{\hbar M \omega_f C_1^2}{2m} - \frac{\hbar M \omega_f u_1}{4m} + \frac{\hbar u_2}{4m\nu} \frac{M\omega_f^3}{\omega_f + \nu} + \sum_{i=2}^4 \frac{\hbar \ell_i}{2m_i \nu_i} \frac{M\omega_f^3}{(\omega_f + \nu_i)} - \frac{\alpha_F}{16\pi} \left(\frac{\hbar^5 R_F^5 \omega_0^3}{m} \right)^{1/2} \int_0^{+\infty} d\tau \exp\{-\hbar\omega_0\tau\} \sqrt{\frac{\pi}{A_{1z}(\tau)}} g\left(\frac{A_{1xy}(\tau)}{A_{1z}(\tau)}\right) \quad (6)$$

$$\frac{m_p}{m} = \exp \left\{ \frac{2M}{3m} \left(C_1^2 + \frac{u_1}{2} \right) + \frac{\alpha_F}{48\pi^2} \left(\frac{\hbar^7 R_F^5 \omega_0^3}{m^3} \right)^{1/2} \int_0^{\infty} d\tau \frac{1}{\sqrt[3]{A_z}} \left[u_1 \pi^2 p\left(\frac{A_{1xy}(\tau)}{A_{1z}(\tau)}\right) + C_1^2 \sqrt[3]{\pi} f\left(\frac{A_{1xy}(\tau)}{A_{1z}(\tau)}\right) \right] \exp(-\hbar\omega_0\tau) \right\} \quad (7)$$

Avec

$$A_{1z}(\tau) = \frac{\hbar^2 u_1 \tau}{2m} + \frac{\hbar u_2}{2m\nu} [1 - \exp(-\hbar\nu\tau)] ; A_{1xy}(\tau) = \frac{\hbar^2 C_1^2 \tau}{2m} + \sum_{i=2}^4 \frac{\hbar \ell_i}{2m_i \nu_i} [1 - \exp(-\hbar\nu_i\tau)] \quad (8)$$

$$g(x) = \frac{1}{\sqrt{1-x}} \operatorname{arsh} \sqrt{\frac{1}{x} - 1}, \quad p(x) = \frac{1}{\sqrt[3]{1-x}} \left\{ -\sqrt{1-x} + \operatorname{arsh} \sqrt{\frac{1}{x} - 1} \right\}, \quad f(x) = \frac{1}{\sqrt[3]{1-x}} \left\{ \frac{1}{x} \sqrt{1-x} - \operatorname{arsh} \sqrt{\frac{1}{x} - 1} \right\} \quad (9)$$

MODEL ET RÉSULTAT ANALYTIQUE

Utilisant l'approche fonction mémoire, le tenseur conductivité et mobilié sont déterminé

$$\sigma(\omega) = \begin{pmatrix} \sigma_{xx}(\omega) & -\sigma_{xy}(\omega) & 0 \\ \sigma_{xy}(\omega) & \sigma_{xx}(\omega) & 0 \\ 0 & 0 & \sigma_{zz}(\omega) \end{pmatrix} \quad \mu = \begin{pmatrix} \mu_{xx} & -\mu_{yx} & 0 \\ \mu_{xy} & \mu_{yy} & 0 \\ 0 & 0 & \mu_{zz} \end{pmatrix}$$

$$\sigma_{xy}(\omega) = \frac{e^2 \omega}{m} \frac{\omega_c \omega}{(\omega^2 + \chi(\omega))^2 - \omega_c^2 \omega^2} \quad (10)$$

$$\sigma_{xx}(\omega) = \frac{ie^2 \omega}{m} \frac{\omega^2 + \chi(\omega)}{(\omega^2 + \chi(\omega))^2 - \omega_c^2 \omega^2} \quad (11)$$

Fonction mémoire,

$$\chi(\omega) = -\alpha_F \pi^2 \sqrt{\pi} R_F^{5/2} \int_0^{+\infty} dt [\exp\{i\omega t\} - 1] \text{Im} \left\{ F_{\omega_0}^*(t) \left(\frac{\pi}{D_z(t)} \right)^{3/2} f \left(\frac{D_{xy}(t)}{D_z(t)} \right) \right\} \quad (12)$$

Le rayon du polaron est estimée comme

$$R_p^2 = \langle (\vec{r} - R)^2 \rangle_{S_0} = R_{//}^2 + R_{\perp}^2 \quad (13)$$

$$R_{\perp}^2 = \frac{\hbar}{2} \left\{ \frac{C_2^2(v_2)}{v_2} F_{v_2}(0) \left[(1 - F_2(v_2))^2 + 2F_2^2(v_2) + F_2^2(v_2) J_2(v_2) (-2 + J_2(v_2) + J_2(v_2) K_2^2(v_2) - 2K_2(v_2)) \right] \right. \\ \left. + \frac{C_3^2(v_3)}{v_3} F_{v_3}(0) \left[(1 - F_3(v_3) J_3(v_3))^2 + F_3^2(v_3) (1 - 2J_3(v_3) + 2J_3^2(v_3) + J_3^2(v_3) K_3^2(v_3) - 2J_3^2(v_3) K_3(v_3)) \right] \right. \\ \left. + \frac{C_4^4(v_4)}{v_4} F_{v_4}(0) \left[(1 - F_4(v_4) J_4(v_4) K_4(v_4))^2 + F_4^2(v_4) (1 + J_4^2(v_4) + 2J_4^2(v_4) K_4^2(v_4) - 2F_4^2(v_4) J_4(v_4) K_4(v_4) - 2F_4(v_4) J_4^2(v_4)) \right] \right\}$$

$$R_{//}^2 = \frac{\hbar u_2}{2mv} F_v(0)$$

RÉSULTAT NUMÉRIQUE

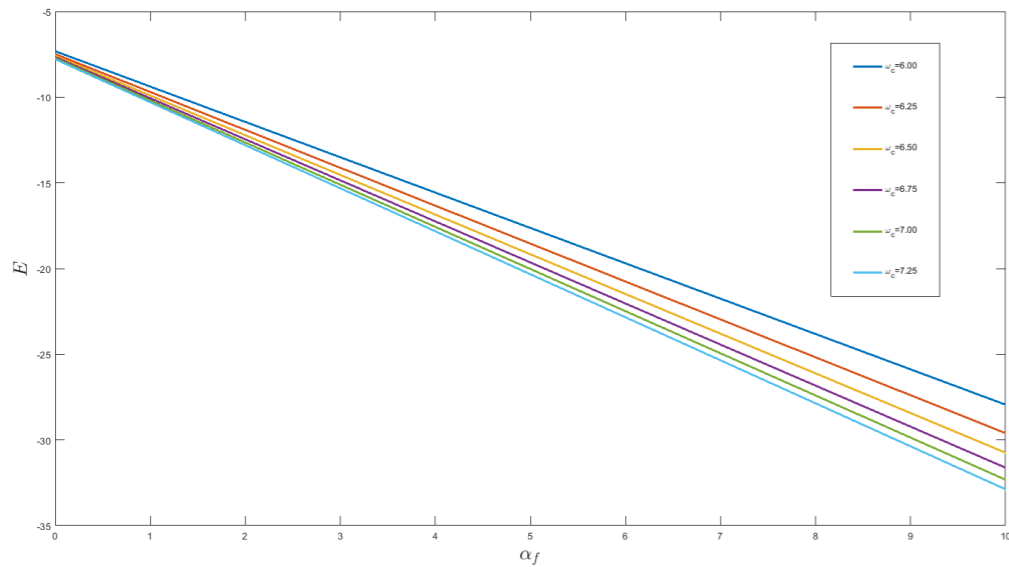


Fig 3: Représentation graphique d'énergie en fonction du couplage électron-phonon.

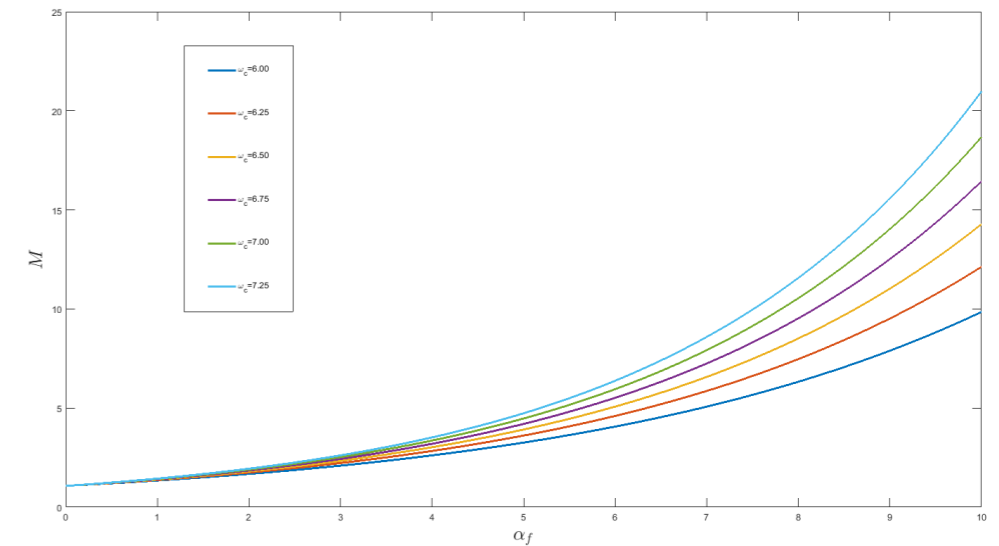


Fig 4: Graphe de la masse effective du polaron en fonction du couplage électron-phonon

RÉSULTAT NUMÉRIQUE

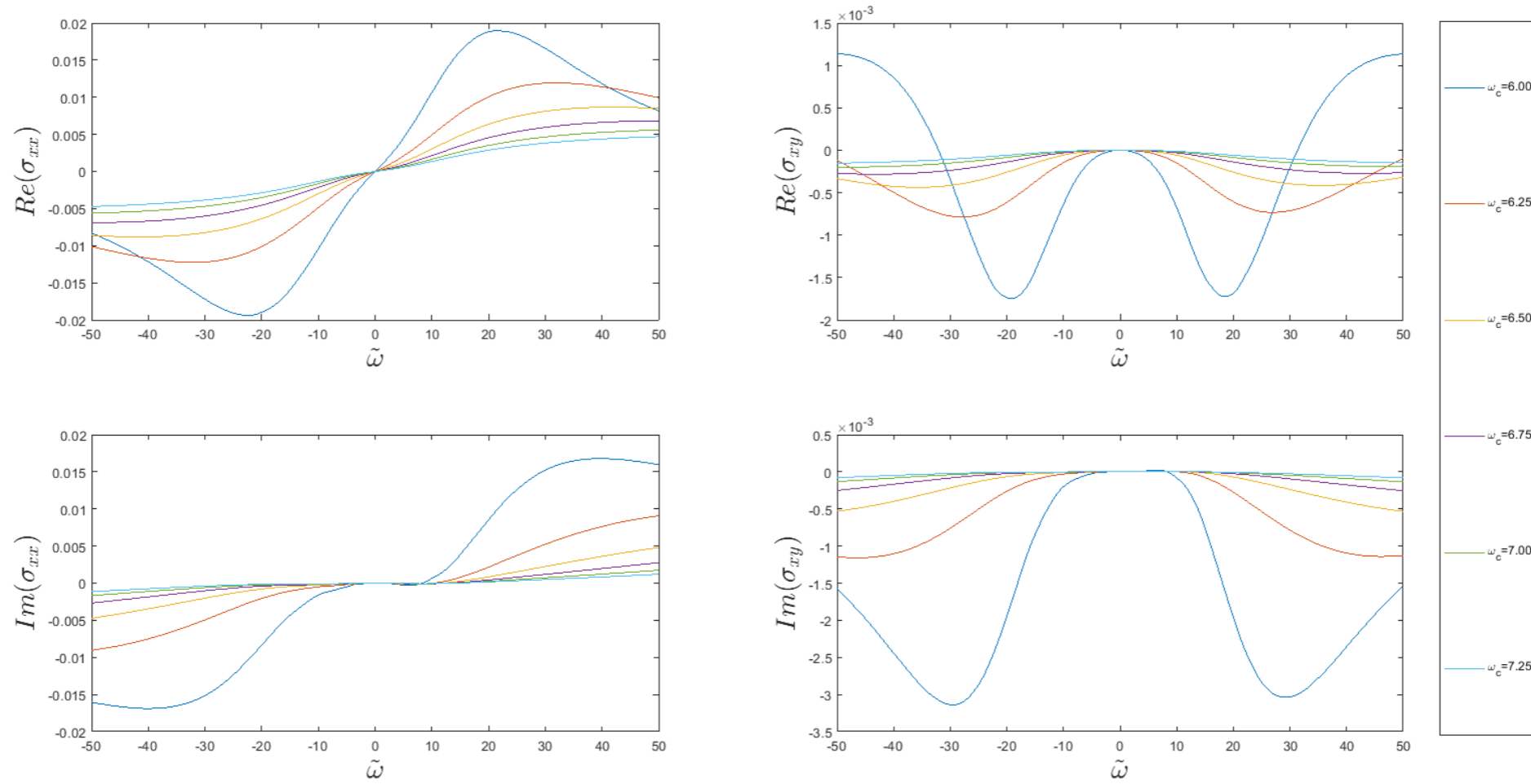


Fig 5: Représentation graphique de la conductivité du polaron en fonction de la fréquence.

CONCLUSION



L'augmentation du champs magnétique contribue au confinement de l'électron dans le cristal polaires. C'est ainsi que le phonon suit l'impureté de manière adiabatique.



La dépendance de l'énergie et la masse du polaron en fonction du couplage sont respectivement les fonctions de la forme $E \sim a \cdot \alpha + b$ et $M \sim c^\alpha$ ou $a < 0$ et $c > 1$



Augmentation du champs magnétique diminue la conductivité du matériaux. Pour une fréquence du cyclotron de $6,00\omega_0$ appliqué aux matériaux, le milieu est plus conducteur $\omega < 25\omega_0$ par contre pour les $25\omega_0 < \omega < 50\omega_0$ le milieu est plus isolant et enfin pour les pulsations $50\omega_0 < \omega$ celle-ci conserve les même valeurs indépendant du champs magnétique appliqué.

**MERCI POUR VOTRE
ATTENTION**